

بررسی تجربی تأثیرگام و زاویه انحراف مارپیچها

در ضریب انتقال حرارت جابجایی آزاد

محمد جعفر حمیدیا شهرضا

مربي

دانشگاه امام حسین(ع)

علی اکبر عالم رجبی

استادیار دانشکده مهندسی مکانیک

دانشگاه صنعتی اصفهان

چکیده

یکی از عوامل مؤثر در ضریب انتقال حرارت جابجایی اجسام، وجود میدان دنباله ناشی از جسم دیگر است. هر حلقه از مارپیچهای قائم در میدان دنباله حلقه پائینی فرارمی کردد و ضریب جابجایی آن متأثر می شود. اثر فاصله بین حلقه های مارپیچ (گام) و زاویه انحراف مارپیچ از حالت قائم بر روی ضریب انتقال حرارت جابجایی آزاد موضوع بحث این مقاله است. به این منظور چهار مارپیچ با گامهای گوناگون در چهار زاویه مختلف مورد آزمایش و بررسی فرارگرفته است و در هر ترکیب گام - زاویه، اعداد نوسلت در ۳۷ عدد ریلی مختلف اندازه گیری شده است. با رسم منحنی تغییرات اعداد نوسلت بر حسب اعداد ریلی دیده می شود که با افزایش گام، ضریب انتقال حرارت جابجایی آزاد افزایش می یابد اما تأثیر تغییر زاویه روند خاصی ندارد. با بهینه نمودن ترکیب گام و زاویه انحراف از حالت قائم می توان به حد اکثر ضریب انتقال حرارت جابجایی آزاد دست یافت. تتابع نشان می دهد که ضریب انتقال حرارت جابجایی آزاد مارپیچها از مقدار مربوط به استوانه افقی بیشتر است.

An Experimental Study Concerning the Effect of Pitch and Tilt Angle of Spiral Coils on Free Convection

A.A. Alem Rajabi

Assistant Prof.

Mech. Eng. Dept., Isfahan Univ. of Tech.

M.J. Hamidia

Lecturer

Imam Hossein University

ABSTRACT

One of the effective parameters on convection heat transfer coefficient from a body is the wake field originated from other bodies. Each ring of a coil is in the wake of lower rings and its convective coefficient is affected. In this paper, effect of coil pitch and its lean angle on the convection heat transfer coefficient are studied. Four coils of different pitches have each been investigated at four lean angles and for each combination of pitch - lean angle, Nusselt numbers were measured at 37 different Rayleigh numbers. Plots of Nu Vs. Ra show that convection heat transfer coefficient increases as the coil pitch is increased but changes in the lean angle causes no regular effect. Optimising the combination of coil pitch and lean angle may lead to a higher heat transfer coefficient. Experimental results indicate that heat transfer coefficient of coils are bigger than that of horizontal cylinders.

۱- مقدمه

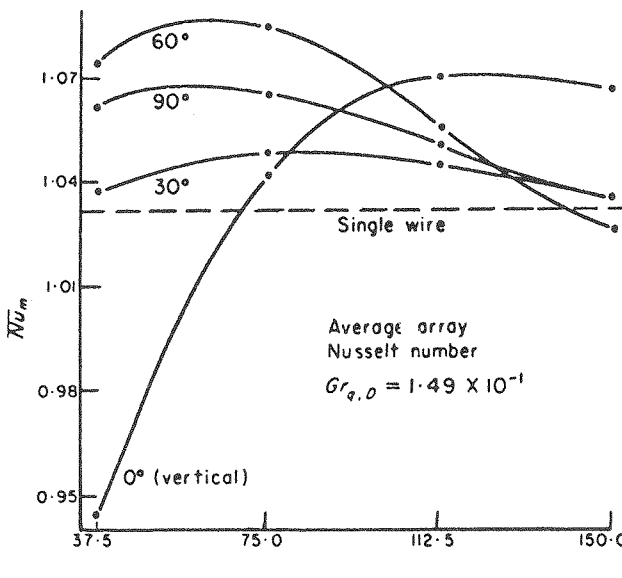
در تشریح این نتایج اثر متضاد میدان سرعت و دما روی لوله‌های بالای را مذکور شده‌اند. سیال مجاور لوله‌های هوا و عدد گراف برای لوله منفرد در شرایط آزمایش بر اساس قطر لوله برابر 34300 بوده است.

کبهارت و لیرمن [۲] رده‌هایی از سیمی به قطر 270 میلیمتر را به موازات یکدیگر در صفحه‌ای قراردادند و آنها را بر هوا به کمک جریان برق گرم کردند. آنها آزمایش خود را برای چهار فاصله مختلف بین سیمه‌ها (گام) از $37/5$ تا 150 برابر قطر سیمه‌ها و در هر گام برای چهار وضعیت صفحه سیمه‌ها (قائم، افقی و در زوایای 30° و 60° درجه) انجام دادند. عدد گراف بر اساس قطر سیمه‌ها از مرتبه $1/75 \times 10^2$ بوده است. نتایج حاصل یانگر این مطلب است که عدد نوسلت متوسط مجموعه سیمه‌ها تابعی از فاصله بین سیمه‌ها (گام) می‌باشد. برای تمامی زوایای صفحه سیمه‌ها با افزایش گام، عدد نوسلت به سمت ماکریم رفته و سپس شروع به کاهش می‌کند. نکته قابل توجه این است که برای هر زاویه صفحه سیمه‌ها، گام بهینه‌ای وجود دارد که در آن عدد نوسلت ماکریم است (شکل ۱). بالاترین عدد نوسلت متوسط بین 16 ترکیب مختلف زاویه - گام، در زاویه 60° نسبت به قائم و گام معادل 75 برابر قطر سیم به وقوع پیوسته است. این نتیجه به صورت ضمنی تأییدی بر نتایج اکرت و همکارش مبنی بر بیشتر بودن انتقال حرارت در آرایش مثلثی است. باید توجه داشت که در این آزمایشها در تمامی حالتها، هر

انتقال حرارت به صورت جابجایی آزاد یکی از مباحث مهم در انتقال حرارت است که تاکنون موضوع مطالعات و پژوهش‌های بسیار بوده است و در سالهای اخیر در زمینه خنک کردن قطعات الکترونیکی مورد توجه خاص واقع شده است. در این مقاله انتقال حرارت جابجایی آزاد از مارپیچها مورد بررسی قرار گرفته است. مارپیچها کاربرد فراوانی در انواع مبدل‌های حرارتی دارند. به علاوه چون بسیاری از سیم‌پیچهای ادوات برقی و برخی قطعات الکتریکی و الکترونیکی بدین شکل ساخته می‌شوند، بررسی انتقال حرارت از آنها می‌تواند بسیار مورد توجه باشد. عملکرد حرارتی هر مارپیچ به پارامترهای بسیاری از قبیل قطر مفتول، قطر مارپیچ، گام، زاویه محور مارپیچ نسبت به قائم، محیط اطراف مارپیچ و ... بستگی دارد.

این مقاله به بررسی اثر گام و زاویه انحراف مارپیچ از حالت قائم می‌پردازد. گرچه در زمینه جابجایی آزاد، تحقیقات بسیاری صورت گرفته لیکن جستجوی کامپیوتری به کمک بانکهای اطلاعاتی گوناگون حاکی از این بود که گزارش‌های زیادی در زمینه مورد بررسی منتشر نشده و فقط تعداد بسیار محدودی مقاله در زمینه اثر گام و زاویه بر روی انتقال حرارت از یک سیم یا یک لوله که در میدان ناشی از جسم گرم مشابهی واقع شده‌اند منتشر شده است. تنها یک گزارش در زمینه مورد بررسی درباره مارپیچها بدست آمد. حال توضیح مختصری درباره محتوای هر یک از این مقالات آورده می‌شود.

اکرت و همکارش [۱] عدد نوسلت را برای مجموعه‌ای از لوله‌های افقی هم‌دما به قطر 870 اینچ که محور آنها در یک صفحه قائم بود اندازه گیری نمودند و دریافتند که با افزایش تعداد لوله‌ها، عدد نوسلت که به مبنای ضریب جابجایی متوسط حساب می‌شود کاهش می‌یابد. بدین ترتیب که اگر یک لوله افقی بالای لوله افقی دیگر قرار گیرد عدد نوسلت آن $0/870$ برابر عدد نوسلت لوله پائینی می‌شود و اگر لوله سومی بالای دو لوله قبلی قرار گیرد عدد نوسلت لوله وسطی و بالایی به ترتیب $0/830$ و $0/630$ برابر عدد نوسلت لوله پائینی می‌شود. ولی چنانچه محور لوله وسطی به اندازه نصف قطر لوله در جهت افقی جابجا شود در این حالت عدد نوسلت لوله‌های وسطی و بالایی به ترتیب $1/030$ و $0/830$ برابر عدد نوسلت لوله پائینی می‌شود. به عبارت دیگر وقتی آرایش لوله از خطی به مثلثی تغییر می‌یابد عدد نوسلت متوسط نیز بیشتر می‌شود. اکرت و همکارش



شکل (۱) عدد نوسلت متوسط آرایش [۲]

می‌یابد. مارپیچهایی که در آزمایشها به کار برده شده همگی از مقتول مسی با قطر 77×0 سانتیمتر ساخته شده و به کمک گرمهنهای الکتریکی که در آنها جاسازی شده گرم می‌شدند. سیال مجاور مارپیچها آب و اعداد ریلی که بر مبنای قطر مقتول محاسبه شده عموماً کوچکتر از $10^5 \times 2$ بوده است. وی برای اطمینان از صحیح بودن روش اندازه‌گیری و استخراج نتایج، ابتدا روش خود را روی یک استوانه افقی اعمال نموده و با مقایسه نتایج حاصل با نتایج تجربی و روابط نیمه تجربی موجود در مقالات معتبر استنتاج نموده که روش مورد استفاده وی منجر به نتایج مطمئنی می‌شود. از آنجا که در پژوهش تجربی حاضر نیز از روش مشابهی استفاده شده جزئیات بیشتری از روش مورد استفاده وی در بخش بعدی آورده خواهد شد.

۲- دستگاه آزمایش

مارپیچهای مورد استفاده در این پژوهش همگی دارای چهار حلقه بوده و از مقتولی توالی با قطر 77×0 سانتیمتر ساخته شده‌اند. مشخصات مارپیچهای مورد استفاده در جدول (۱) درج گردیده است. برای حرارت دادن هر مارپیچ از یک المان الکتریکی که درون مقتول آن جاسازی شده و یک منبع تغذیه Philips PE 1646 DC (با توان حداکثر 450 وات استفاده شده است. میزان گرمای تولید شده در المان با اندازه‌گیری ولتاژ و جریان ورودی به آن قابل محاسبه است. برای اندازه‌گیری دمای سطح مارپیچها از 7 ترموموکوپل نوع T (مس - کنستانتن) با قطر سیمهای $3/0$ میلیمتر و پوشش PVC و یک دستگاه دماسنجه دیجیتال با دقت 0.1°C (از نوع Comark 6901) استفاده شده است. برای ایجاد یک محیط با دمای تقریباً

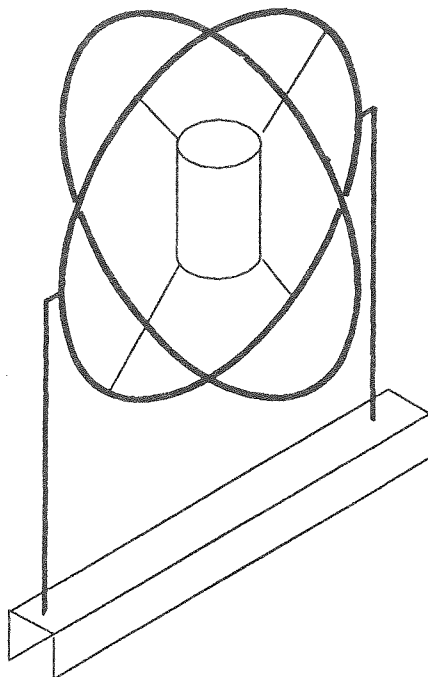
سیم مقدار مشخصی حرارت از دست می‌دهد و چون تلفات شعشعی کمتر از یک درصد کل انتقال حرارت است از آن صرفنظر شده است.

مارستر [۳] آزمایشها را با تعداد متفاوتی لوله افقی با قطر $4/6$ میلیمتر که محور همه آنها در یک صفحه قائم بود ترتیب داد. این لوله‌ها در یک مدار سری الکتریکی قرار گرفته و گرم می‌شدند. آزمایش برای آزمایش‌های 3 ، 5 و 9 لوله‌ای با گامهای متفاوت و انتقال حرارت‌های گوناگون صورت گرفته و چنین نتیجه گیری شده است که مشخصه‌های انتقال حرارت در یک آزمایش از لوله‌های گرم شده را نمی‌توان با یک بر هم نهی ساده از رفتار استوانه‌های منفرد پیش‌بینی نمود. در گامهای کوچک، عدد نوسلت هر لوله در آزمایش تا حدود 50 درصد کمتر از عدد نوسلت یک استوانه منفرد است، اما برای گامهای بزرگ، عدد نوسلت هر لوله در آزمایش تا حدود 30 درصد بیشتر از عدد نوسلت یک استوانه منفرد است. علاوه بر اینکه مشخصه‌های حرارتی یک آزمایش بستگی به گام و عدد ریلی (Ra) دارد، عدد نوسلت هر لوله به موقعیت آن در آزمایش وابسته است. در این آزمایشها تغییرات عدد گرافیک بین 750 تا 2000 و عدد ریلی کوچکتر از 1600 بوده است.

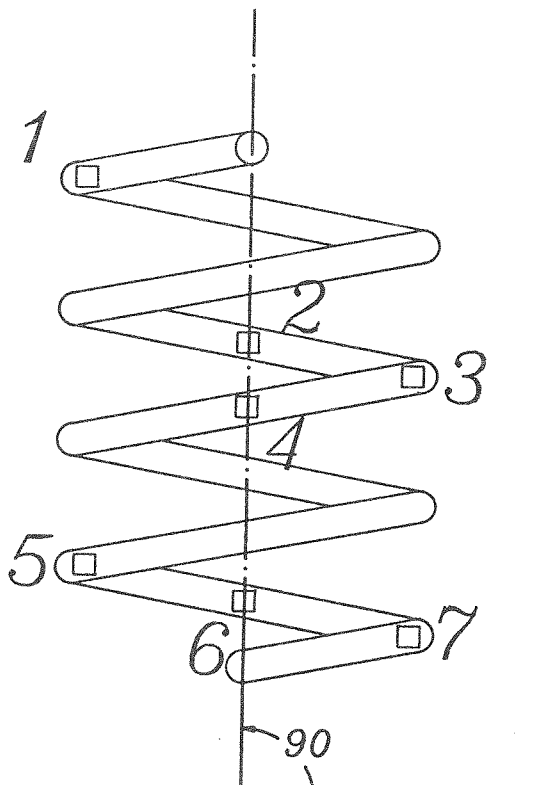
خریدار [۴] طی یک مجموعه آزمایش، ضربی انتقال حرارت جابجایی آزاد مارپیچهای قائم را به دست آورده است. نامبرده در آزمایشها خود اثر تعداد حلقه‌ها و قطر مارپیچ را بر ضربی انتقال حرارت بررسی نموده و چنین نتیجه گیری نموده که تعداد حلقه‌های مارپیچ بر ضربی انتقال حرارت جابجایی آزاد تأثیری ندارد و یا تأثیر آن بسیار ناچیز است ولی با افزایش قطر مارپیچ، ضربی انتقال حرارت جابجایی آزاد افزایش

جدول (۱) مشخصات نمونه‌ها (مارپیچها)

نسبت گام به قطر	قطر داخلی مارپیچ (cm)	قطر مقتول (cm)	تعداد حلقه	شماره نمونه
1	7.66	0.77	4	1
3	7.66	0.77	4	2
4	7.66	0.77	4	3
6	7.66	0.77	4	4



شکل (۲) شمایی از گردونه‌ای که نمونه در آن بسته می‌شود و در زوایای مختلف قرار می‌گیرد.



شکل (۳) محلهای نصب ترموموپل بر روی مارپیچ

ثابت در طول آزمایش، یک مخزن استوانه‌ای با قطر 130 سانتیمتر و ارتفاع 120 سانتیمتر حاوی بیش از 1500 کیلوگرم آب استفاده شد. به این ترتیب با قراردادن هر یک از مارپیچها در میان این مخزن، دمای آب مجاور آنها در طول آزمایش کمتر از 1°C تغییر می‌کرد و اثر دیواره‌های مخزن روی جریان طبیعی بسیار ناچیز بود. برای اینکه بتوان اندازه‌گیری مشخصه‌های گرمایی مارپیچها را در زوایای مختلف انجام داد هر مارپیچ توسط چهار رشتہ نخ نازک به گردونه‌ای که درون مخزن آب تعییه شده بود متصل می‌شد و با گرداندن گردونه، محور مارپیچ نسبت به وضعیت قائم در زاویه مورد نظر قرار می‌گرفت. شکل (۲) نحوه استقرار مارپیچ بر روی گردونه و شکل (۳) محل اتصال ترموموپلها بر روی سطح مارپیچ را نشان می‌دهد.

۳-روش آزمایش

پس از لحیم ترموموپلها به مارپیچ در محلهای مورد نظر و نصب اتصالات الکتریکی و عایق‌کاری آنها، مخزن از آب سختی گرفته شده پر و حدود 24 ساعت رها می‌شد تا ضمن خارج شدن گازهای محلول در آن، نوسانات و اغتشاشات آن مستهلك شود. دمای آب مخزن توسط ترموموپلی در فاصله 30 سانتیمتری از دیواره مخزن و 5 سانتیمتری از سطح آب اندازه‌گیری می‌شد. پس از هر بار تنظیم ولتاژی که به دو سر مارپیچ اعمال می‌شود باید مدت کافی زمان سپری شود تا دمای کلیه نقاط به حالت پایا برسد. دمای سطح مارپیچ T برابر متوسط دمای نقاط مختلف آن و گرمای دفع شده از مارپیچ Q برابر توان الکتریکی مصرفی المان می‌باشد. اگر سطح مارپیچ A و دمای آب را با T_{∞} نشان دهیم می‌توان ضربی انتقال حرارت جابجایی را از رابطه $Q = hA(T_{\infty} - T)$ محاسبه کرد. محاسبات نشان می‌دهد که انتقال حرارت تشعشعی از مارپیچ به محیط کمتر از 10 درصد کل انتقال حرارت از آن و قابل صرفنظر کردن است.

۴-بحث و بررسی نتایج

همانطور که در جدول (۱) ذکر شده، پنج مارپیچ با گامهای مختلف و هر یک در چهار زاویه مختلف صفر، سی، شصت و نود درجه بین محور مارپیچ و خط افق آزمایش شده و در هر وضعیت خصوصیات گرمایی مارپیچ در 37 عدد ریلی گوناگون بین 10^0 تا 2×10^5 بررسی شده است [۵]. برای اطمینان از

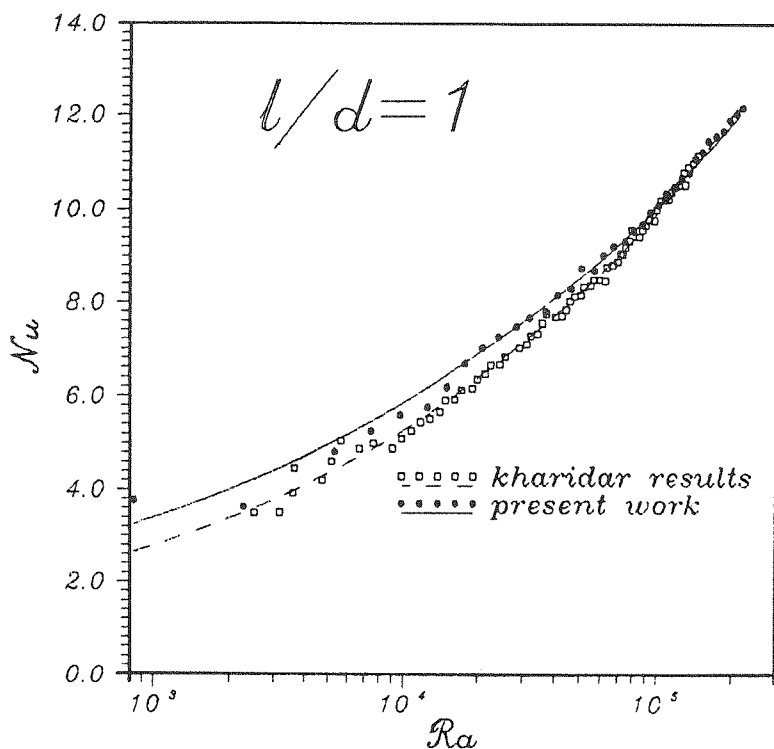
محاسبات نشان می‌دهد که نتایج آزمایش در اعداد ریلی کوچک دارای درصد عدم قطعیت بالایی است اما با افزایش عدد ریلی این مقدار به شدت کاهش یافته و به مقادیر کمتر از دو درصد (در اعداد ریلی بیشتر از ۵۰۰۰) می‌رسد.

همانگونه که انتظار می‌رفت و در شکل‌های (۵ تا ۸) نیز دیده می‌شود با افزایش عدد ریلی، عدد نوسلت نیز افزایش می‌یابد. افزایش عدد ریلی ناشی از افزایش اختلاف دمای ΔT بین مارپیچ و محیط است. افزایش ΔT سبب ایجاد نیروی شناوری قویتر گردیده، باعث افزایش جریانهای جابجایی و افزایش ضربی انتقال حرارت جابجایی و عدد نوسلت می‌شود. از شکل‌های (۵ تا ۸) چنین بر می‌آید که در مارپیچها با مشخصه گام به قطر ۳، ۴ و ۶ با تغییر زاویه از حالت ۹۰ درجه، ضربی انتقال حرارت کاهش می‌یابد. نتایج حاصل از حل عددی معادلات جابجایی برای استوانه مایل [۱۰] و نتایج تجربی [۱۱] حاصل از آزمایش با یک استوانه مایل به قطر ۱/۱۹ میلیمتر و نسبت طول به قطر ۸ با نتایج فوق هماهنگی ندارد. این عدم هماهنگی را می‌توان ناشی از متفاوت بودن هندسه و تأثیر دنباله هر حلقه روی حلقه‌های بالاتر در مارپیچها دانست.

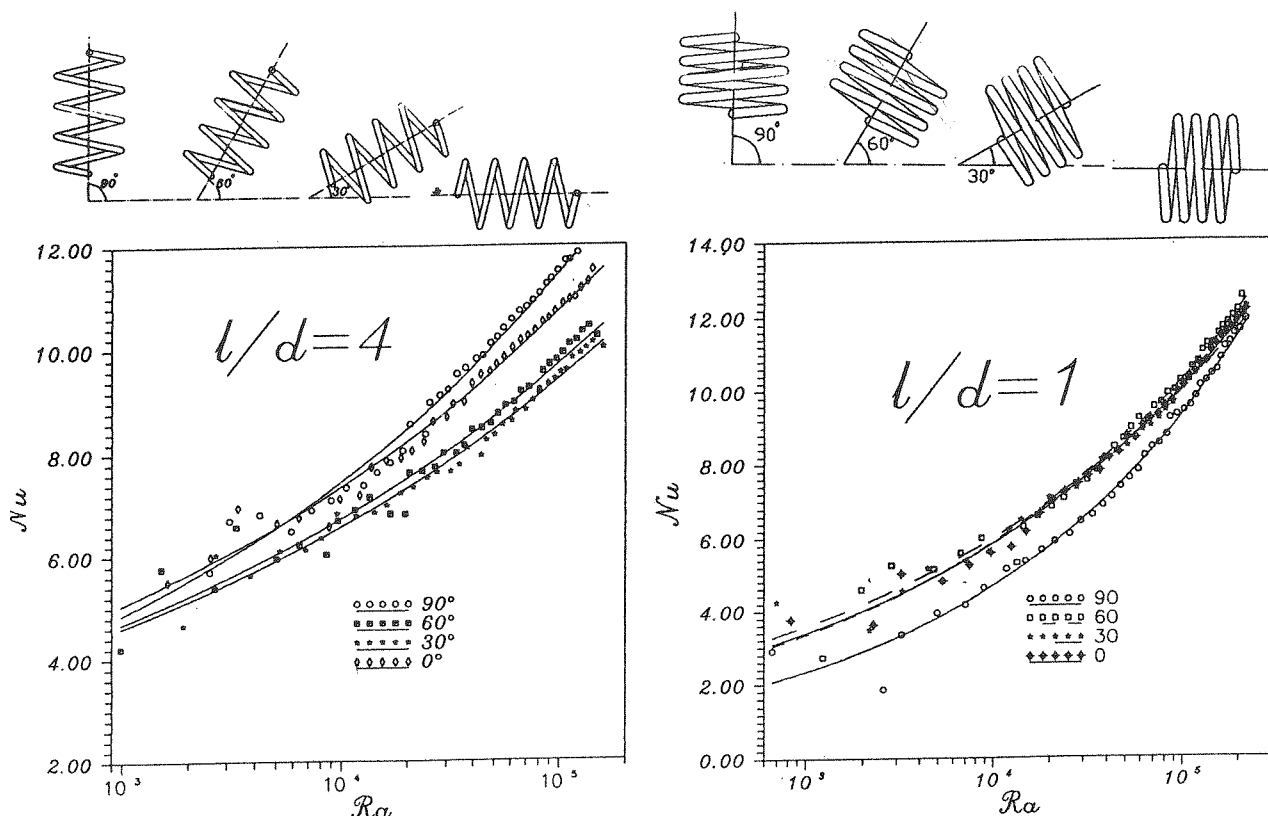
صحت روش آزمایش و محاسبات، ابتدا نمونه ۱ در زاویه ۹۰ درجه مورد آزمایش قرار گرفت و نتایج حاصله با نتایج خریدار [۴] مقایسه گردید (شکل ۴). چنانکه دیده می‌شود تطابق خوبی بین نتایج دو کار برقرار است. لازم به ذکر است که خریدار [۴] نتایج خود را با نتایج مورگان [۶] مقایسه کرده و تطابق خوبی را گزارش نموده است.

۵- اثر تغییر زاویه

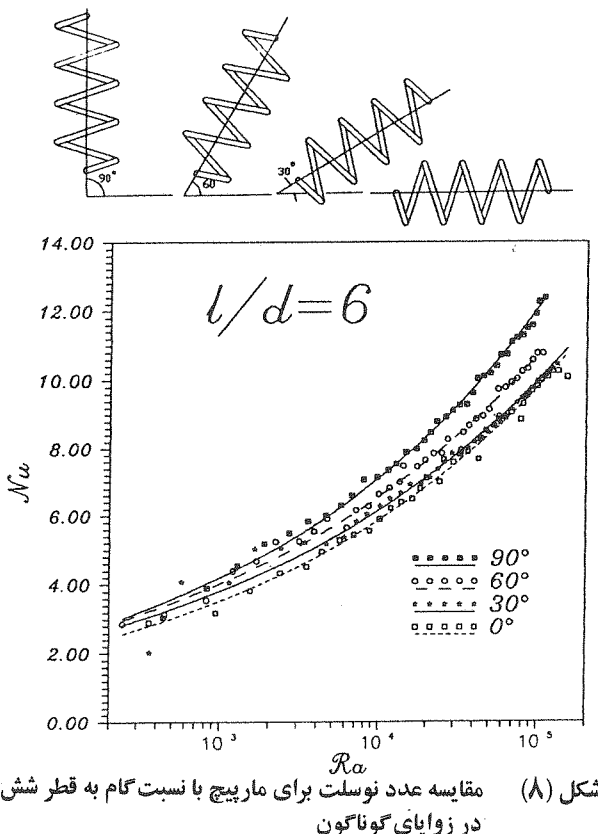
در شکل‌های (۵ تا ۸) نتایج آزمایشها برای مارپیچها در زوایای گوناگون رسم شده است. تابعیت اعداد نوسلت از اعداد ریلی را به خوبی می‌توان توسط رابطه $Nu=c Ra^n$ بیان کرد. عموماً از چنین رابطه‌ای برای بیان انتقال حرارت جابجایی آزاد استفاده می‌شود [۷]. مقادیر ثابت‌های c و n برای هر مارپیچ در زوایای گوناگون در جدول (۲) درج شده است. همانگونه که در شکل‌های (۵ تا ۸) مشخص است، پراکندگی نقاط آزمایش در اطراف منحنی برازش شده، بیشتر در اعداد ریلی کوچکتر از ۱۰^۴ دیده می‌شود. برای بررسی علت این امر، درصد عدم قطعیت که نشانگر احتمال وجود خطاست بر اساس روش پیشنهادی [۸] برای کلیه نقاط آزمایش محاسبه گردید. نتایج این



شکل (۳) مقایسه کار حاضر با [۴] در مورد مارپیچ با نسبت گام به قطر یک



شکل (۸) مقایسه عدد نوسلت برای مارپیچ با نسبت گام به قطر یک در زوایای گوناگون



شکل (۹) مقایسه عدد نوسلت برای مارپیچ با نسبت گام به قطر سه در زوایای گوناگون

جدول (۲) ضرایب رابطه $Nu = cRa^n$ برای مارپیچها در زوایای مختلف

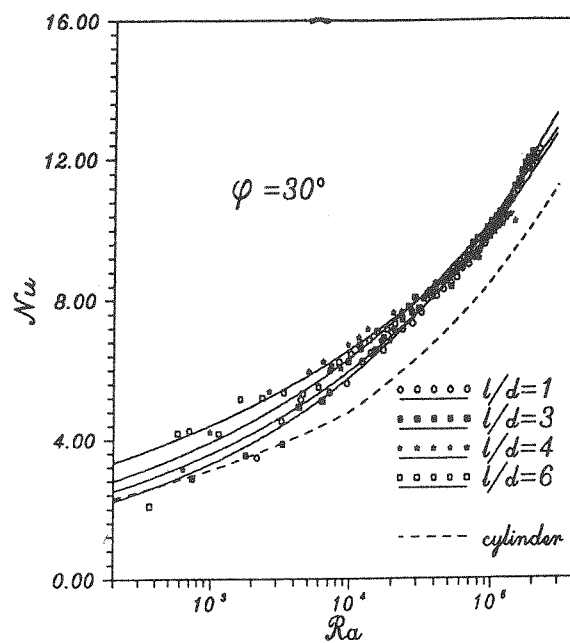
	زاویه 0°		زاویه 30°		زاویه 60°		زاویه 90°	
$1/d$	c	n	c	n	c	n	c	n
1	0.668	0.235	0.769	0.221	0.625	0.243	0.300	0.294
3	0.707	0.223	0.602	0.246	0.757	0.221	0.747	0.230
4	1.555	0.166	1.322	0.174	1.634	0.163	1.343	0.186
6	0.761	0.222	0.899	0.209	0.922	0.213	0.857	0.230

صفر درجه بسیار پیچیده‌تر از حالت 90° درجه است چراکه در این زوایا حلقه‌ها در یک راستای قائم بر روی یکدیگر قرار ندارند و در نتیجه تعداد نقاطی که در دنباله نقاط دیگر مارپیچ قرار می‌گیرند و همچنین جگونگی برخورد دنباله‌ها به نقاط مختلف مارپیچ و فاصله‌ای که یک دنباله قبل از برخورد به نقطه‌ای از مارپیچ طی می‌کند همه عواملی هستند که بر روی ضریب انتقال حرارت اثر می‌گذارند و چون این عوامل همگی از تغییر گام تأثیر می‌پذیرند، لذا توجه فراگیری، برای رفتار آنها نمی‌توان ذکر کرد.

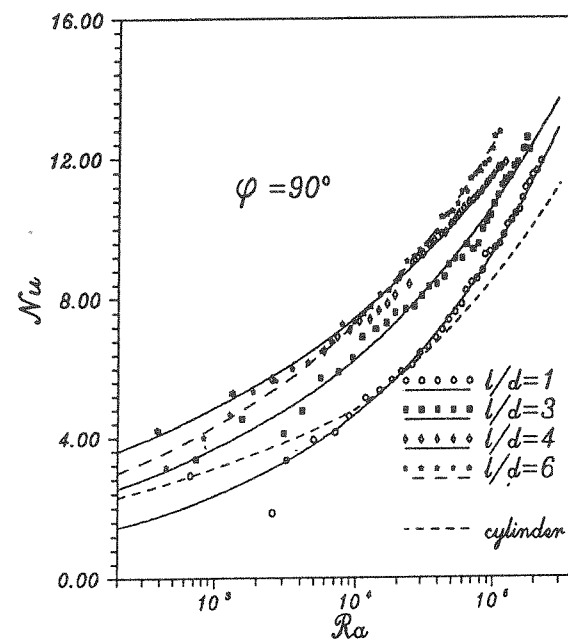
۷- مقایسه با استوانه افقی

در شکل‌های (۹ تا ۱۲) عدد نوسلت مارپیچها در زوایای مختلف با عدد نوسلت استوانه افقی، بر اساس نتایج مورگان [۶] نیز مقایسه شده و نمایانگر این است که عدد نوسلت مارپیچها با نسبت گام به قطر 3° ، 4° و 6° در تمامی زوایا بیشتر از عدد نوسلت استوانه افقی است. عدد نوسلت مربوط به مارپیچ با نسبت گام به قطر یک نیز بسته به زاویه مارپیچ در محدوده‌ای از اعداد ریلی بیشتر از عدد نوسلت استوانه افقی است. تفاوت مارپیچ با استوانه افقی در انتقال حرارت جابجایی آزاد در این است که در مارپیچها هر حلقه در دنباله حلقه‌های پائینتر از خود قرار گرفته است. به عبارت دیگر حلقه‌های بالایی در جریان سیالی قرار گرفته‌اند که از حلقه‌های پائینی سرچشمeh گرفته است. این جریان از یک طرف دارای سرعت است و باعث افزایش انتقال حرارت از مارپیچ می‌گردد و از طرف دیگر دارای دمایی بیشتر

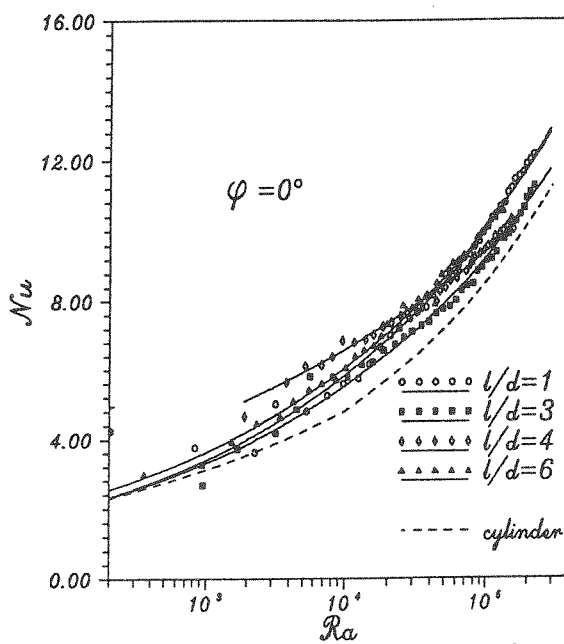
نتایج بدست آمده برای مارپیچها با گامهای مختلف و در چهار زاویه گوناگون در شکل‌های (۹ تا ۱۲) رسم شده است. چنانکه از شکل (۹) بر می‌آید، در زاویه 90° درجه با افزایش گام، ضریب انتقال حرارت افزایش می‌یابد. طبق نظریه‌های لایه هرزی، دمای خط تقارن دنباله برخاسته از یک چشمeh حرارتی خطی افقی متناسب با توان $\frac{3}{5}$ فاصله از چشمeh کاهش می‌یابد در حالی که سرعت خط تقارن دنباله مذکور متناسب با توان $\frac{1}{5}$ فاصله از چشمeh افزایش می‌یابد [۹]. چنانچه این نظریه را برای حلقه‌های یک مارپیچ معتبر بدانیم، با ازدیاد گام، جریانی که از هر حلقه مارپیچ سرچشمeh می‌گیرد باید مسافت بیشتری را طی کند تا به حلقه بالایی برسد و در این فاصله دمای آن کاهش و سرعت آن افزایش می‌یابد. هر دو عامل باعث افزایش ضریب انتقال حرارت و عدد نوسلت می‌شود. اگرچه برای تحریمی مارپیچهای مورد آزمایش با افزایش گام، ضریب انتقال حرارت افزایش یافته، اما می‌توان پیش‌بینی نمود که این روند تا رسیدن به یک گام بهینه ادامه یابد و پس از آن با افزایش گام، ضریب انتقال حرارت کاهش یابد زیرا دنباله ایجاد شده از یک حلقه تا رسیدن به حلقه بعدی به علت فاصله زیاد حلقه‌ها از هم مستهلك می‌شود و جریان مؤثری به حلقه بعدی نخواهد رسید. دلیل دیگر این که، با افزایش گام در حالت حدی، مارپیچ به سمت یک استوانه قائم می‌کند و ضریب انتقال حرارت استوانه یک قائم کمتر از استوانه افقی و بالطبع کمتر از مارپیچهای مورد آزمایش است. تحلیل اثر افزایش گام در زوایای 30° و 60° و



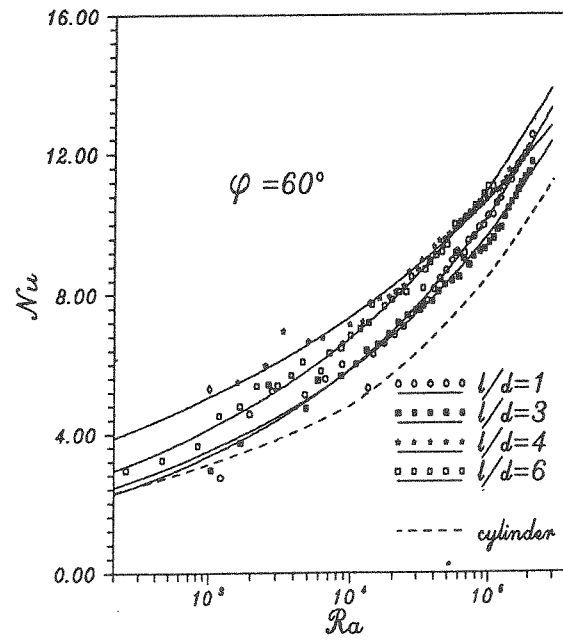
شکل (۱۱) مقایسه عدد نوسلت مارپیچها و استوانه افقی در زاویه سی درجه



شکل (۹) مقایسه عدد نوسلت مارپیچها و استوانه افقی در زاویه نود درجه



شکل (۱۲) مقایسه عدد نوسلت مارپیچها و استوانه افقی در زاویه صفر درجه



شکل (۱۰) مقایسه عدد نوسلت مارپیچها و استوانه افقی در زاویه شصت درجه

۸-نتیجه‌گیری

- ۱ - در مارپیچهای قائم با افزایش گام، ضریب انتقال حرارت جابجایی آزاد افزایش می‌یابد ولی احتمالاً گام بهینه ماکریمی وجود دارد.
- ۲ - ضریب جابجایی آزاد مارپیچهای با محور افقی با نسبت گام به قطر بیشتر از یک، از مقدار مربوط به استوانه افقی بیشتر است. احتمال دارد که در نسبتهای گام به قطر کوچکتر از یک، نتیجه متفاوتی به دست آید.
- ۳ - ضریب انتقال حرارت مارپیچهای با نسبت گام به قطر بیشتر از یک، در حالت محور قائم بیشتر از حالت محور افقی است.

از T_{∞} است که موجب کاهش اختلاف دما بین سطح مارپیچ و سیال محیط و در نتیجه کاهش انتقال حرارت می‌شود. افزایش یا کاهش مقدار گرمای انتقال یافته از مارپیچ در مقایسه با استوانه افقی بستگی به غالب بودن اثر سرعت یا دمای جریان دارد. در مورد مارپیچهای مورد بحث اثر سرعت بر اثر افزایش دما غالب به دارد و در نتیجه در مارپیچهای مذکور ضریب انتقال حرارت نسبت به استوانه افقی بیشتر است. بر اساس نتایج گبهارت [۲] و مارستر [۳] این احتمال وجود دارد که در مارپیچهای با نسبت گام به قطر کوچکتر از یک، در تمامی اعداد ریلی مورد بحث، ضریب انتقال حرارت از مقدار مربوط به استوانه افقی کمتر باشد، چون در گامهای کوچک احتمال دارد که اثر افزایش دمای جریان بر اثر سرعت آن غلبه کند.

مراجع

- [۱] خردبار، م.ح.، "تعیین ضریب انتقال حرارت جابجایی آزاد بروی مارپیچها"، پایان نامه کارشناسی ارشد، دانشگاه صنعتی اصفهان، دانشکده مهندسی مکانیک، ۱۳۷۶.
- [۲] Morgan, V.T. "The Overall Convective Heat Transfer from Smooth Circular Cylinder" in *Advances in Heat Transfer*, Vol. 11, Academic press, New York, 1975.
- [۳] Incropera F.P. and Dewitt, "Introduction to Heat Transfer", John Wiley & sons, 2nd ed., 1990.
- [۴] Fox, R.W. and Mc Donald, A.T., "Introduction to Fluid Mechanics", 3rd ed., 1985.
- [۵] Schlichting, H., "Boundary Layer Theory", Mc Graw Hill, 7th ed., 1979.
- [۶] Oosthuizen, P.H., *J. Heat Transfer*, Vol. 98, P. 570, 1976.
- [۷] Oosthuizen, P.H., "Experimental Study of Free Convective Heat Transfer from Inclined Cylinders", *J. Heat Transfer*, Vol. 98, P.672.
- [۸] Eckert, E. R.G. and Soehngen, E., "Studies on Heat Transfer in Laminar Free Convection with the Zehnder - Mach Interferometer", Tech. Rept. No. 5747, USAF Air Material Command, Dayton, Ohio 1948.
- [۹] Liberman, J. and Gebhart, B., "Interaction in Natural Convection from an Array of Heated Elements, Experimental", *Int. J. Heat Mass Transfer*, Vol. 12, P. 1358.
- [۱۰] Marster, G.F., "Arrays of Heated Horizontal cylinders in Natural Convection", *Int. J. Heat Mass Transfer*, Vol. 15, P.21.
- [۱۱] حمیدی شهرضا، م.ح.، "بررسی تجربی انتقال حرارت جابجایی آزاد از مارپیچها"، پایان نامه کارشناسی ارشد، دانشگاه صنعتی اصفهان، دانشکده مهندسی مکانیک، ۱۳۷۱.